

УДК 538.945 НТс

© 1992

## СТРУКТУРНЫЕ ПОЗИЦИИ И МАГНИТНОЕ УПОРЯДОЧЕНИЕ АТОМОВ Fe В СИСТЕМЕ $YBa_2(Cu_{1-x}Fe_x)_3O_y$ , ОБОГАЩЕННОЙ И ОБЕДНЕННОЙ КИСЛОРОДОМ

*И. С. Любутин, В. Г. Терзиев, Т. В. Дмитриева, А. М. Балагуров*

С помощью мессбауэровской спектроскопии исследовано магнитное упорядочение атомов Fe в системе  $YBa_2(Cu_{1-x}Fe_x)_3O_y$  для  $x=0.05$  и  $x=0.10$  в сверхпроводящем и несверхпроводящем состояниях. В сверхпроводящих образцах для всех атомов Fe найдена одна точка магнитного упорядочения  $T_{m1}$ , равная соответственно 10 и 16 К для  $x=0.05$  и  $x=0.10$ . Предполагается, что эта точка соответствует магнитному упорядочению типа спинового стекла для атомов Fe в узлах Cu1. В несверхпроводящем состоянии появляется также магнитное упорядочение в узлах Cu2 с точкой магнитного перехода  $T_{m2}$ . При  $x=0.05$  подрешетки Cu1 и Cu2 магнитно независимы и обнаружены две точки магнитного перехода:  $T_{m1} = 20$  и  $T_{m2} = 405$  К. Для  $x=0.10$  сильное обменное взаимодействие между подрешетками Cu1 и Cu2 приводит к наличию одной температуры магнитного упорядочения  $T_{m2} = 435$  К.

Магнитное упорядочение примесных атомов железа в соединениях  $YBa_2(Cu_{1-x}Fe_x)_3O_y$  ниже температуры сверхпроводящего перехода  $T_c$  наблюдалось в ряде работ [1-5]. Чтобы сделать заключение о возможном сосуществовании сверхпроводимости и магнетизма, необходимы тщательный анализ условий, приводящих к этому эффекту, и знание точной локализации атомов Fe в структуре 1-2-3. В настоящей работе впервые в широком интервале температур ( $4.5 < T < 500$  К) проведены исследования мессбауэровских спектров ядер  $^{57}Fe$  на образцах системы  $YBa_2(Cu_{1-x}Fe_x)_3O_y$  для  $x=0.05$  (при  $y=7.01$  и  $6.48$ ) и  $x=0.10$  (при  $y=7.07$  и  $6.36$ ). Основное внимание уделено обнаруженному эффекту магнитного упорядочения атомов Fe в узлах Cu1 и Cu2 в сверхпроводящем и полупроводниковом состояниях.

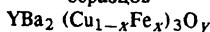
### 1. Методика эксперимента

Исходные образцы были приготовлены по стандартной керамической технологии с финальным отжигом в атмосфере кислорода. Для синтеза использовался оксид железа, обогащенный изотопом  $^{57}Fe$  до 96%. Метод приготовления детально описан в работе [6]. Содержание кислорода в образцах определялось методом нейтронной дифракции и превышало семь атомов на формульную единицу для обоих образцов (табл. 1). Рентгенофазовый анализ показал, что все образцы однофазны и имеют тетрагональную структуру фазы 1-2-3 с параметрами элементарной ячейки, приведенными в табл. 1. Температуры сверхпроводящего перехода  $T_c$  были получены путем измерения электросопротивления стандартным четырехконтактным и индуктивным методами (табл. 1).

Отгонка кислорода проводилась путем нагрева образцов до  $600-650^\circ C$  в токе чистого гелия в течение 6-8 ч. Конечное содержание кислорода, полученное методами нейтронной дифракции и термогравиметрии, составляло  $y=6.48$  (2) и  $6.36$  (2) соответственно для образцов с  $x=0.05$  и  $0.10$ . Согласно данным нейт-

Таблица 1

Содержание кислорода  $y$ , параметры элементарной ячейки  $a$ ,  $b$  и  $c$  и температура сверхпроводящего перехода  $T_c$  (на уровне 50%  $R_H$ ) для насыщенных кислородом образцов



$x$	$y$	$a=b, \text{ \AA}$	$c, \text{ \AA}$	$T_c, \text{ K}$
0.05	7.01	3.864	11.682	69
0.10	7.07	3.867	11.675	43

ронной дифракции [6], все атомы железа как в обогащенных, так и в обедненных кислородом образцах располагаются в узлах Cu1 в пределах ошибки эксперимента.

Мессбауэровские спектры снимались в геометрии поглощения на стандартном спектрометре, работающем в режиме постоянных ускорений. Для измерения в области температур 4.6—300 К образец охлаждался в проточном гелиевом криостате, а в области температур выше комнатной применялась специальная безвакуумная печь. Математическая обработка спектров проводилась в приближении лоренцевской формы линии методом наименьших квадратов. Для анализа сложных спектров применялись специальные программы, такие как обострение резонансных линий, вычитание парциальных компонент, анализ эффектов спиновой релаксации и др.

## 2. Экспериментальные результаты и их обсуждение

1) Данные для соединений  $YBa_2(Cu_{0.95}Fe_{0.05})_3O_y$  с  $y=7.01$  и 6.48. На рис. 1, 2 показаны мессбауэровские спектры при комнатной температуре и  $T=5.1$  К для обогащенных и обедненных кислородом образцов с  $x=0.05$ . Первый спектр можно описать четырьмя дублетами:  $D1$ ,  $D2$ ,  $D3$  и  $D4$ . Параметры сверхтонкого взаимодействия: изомерный сдвиг относительно металлического же-

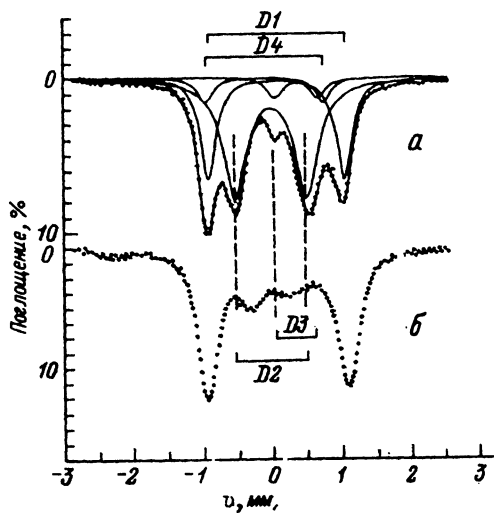


Рис. 1. Мессбауэровские спектры ядер  $^{57}\text{Fe}$  образца с  $x=0.05$ , насыщенного и обедненного кислородом, при комнатной температуре.

Показано разложение спектров на дублеты  $D1$ ,  $D2$ ,  $D3$  и  $D4$ . Штрихом показано исчезновение дублетов  $D2$  и  $D3$  при удалении кислорода.  $y=7.01$  (а), 6.48 (б).

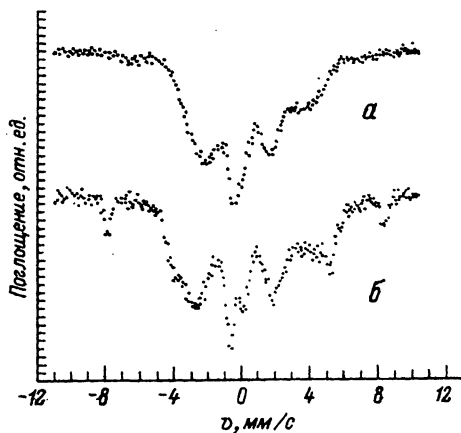


Рис. 2. Мессбауэровские спектры ядер  $^{57}\text{Fe}$  образца с  $x=0.05$ , насыщенного и обедненного кислородом, при  $T=5.1$  К.

$y=7.01$  (а), 6.48 (б).

Таблица 2

Параметры мессбауэровских спектров обогащенного и обедненного кислородом образцов  $\text{YBa}_2\text{Cu}_{2.85}\text{Fe}_{0.15}\text{O}_y$  при комнатной температуре. ( $QS$  — квадрупольное расщепление,  $IS$  — изомерный сдвиг относительно металлического железа при 300 К,  $S_{rel}$  — относительная площадь,  $NW$  — полуширина линии,  $H_{hf}$  — сверхтонкое магнитное поле)

$y$		$QS$ , мм/с	$IS$ , мм/с	$S_{rel}$ , %	$NW$ , мм/с	$H_{hf}$ , кЭ
7.01	$D1$	1.95	0.06	32	0.27	0
	$D2$	1.04	-0.02	55	0.42	0
	$D3$	0.60	0.34	6	0.23	0
	$D4$	1.62	-0.09	7	0.24	0
6.48	$D1$	2.02	0.07	64	0.35	0
	$D5$	0.58	-0.03	29	0.61	0
	$M$	0.21	0.25	7	0.39	296
Ошибка		0.01	0.01	2	0.02	2

леза при комнатной температуре  $IS$ , квадрупольное расщепление  $QS$  и относительная площадь  $S_{rel}$  для всех компонент приведены в табл. 2. В работе [7] было показано, что доминирующие квадрупольные дублеты  $D1$  и  $D2$  принадлежат атомам Fe в узлах Cu1 соответственно с кислородной координацией ( $k$ ) плоского квадрата ( $k=4$ ) и квадратной пирамиды ( $k=5$ ). Дублет  $D3$ , возможно, принадлежит атомам Fe в узлах Cu2. Относительная площадь этого дублета  $S_{rel}(D3) \approx 6\%$  находится ниже предела погрешности данных нейтронной дифракции [6]. По значению параметров  $IS$  и  $QS$  дублет  $D3$  следует отнести к ионам  $\text{Fe}^{3+}$  в высокоспиновом состоянии ( $S=5/2$ ). Дублет  $D4$ , по-видимому, принадлежит ионам  $\text{Fe}^{4+}$  в узлах Cu1, находящимся в низкоспиновом диамагнитном состоянии с  $S=0$ .

При отгонке кислорода до  $y=6.48$  компоненты  $D2$ ,  $D3$  и  $D4$  исчезают (рис. 1), в то время как интенсивность компоненты  $D1$  (координация плоского квадрата в узлах Cu1) возрастает. Кроме того, появляются две новые компоненты — парамагнитный дублет  $D5$  и магнитный секстет  $M$ . Магнитная компонента ясно видна на спектре с более широкой разверткой по скорости (рис. 3). Исходя из значений  $IS$  и  $S_{rel}$ , можно предположить, что магнитная компонента  $M$  соответствует дублету  $D3$  в спектре насыщенного кислородом образца.

При низких температурах ( $T < 10$  К) наблюдается магнитное сверхтонкое расщепление для всех компонент мессбауэровского спектра сверхпроводящего образца с  $x=0.05$ ,  $y=7.01$  (рис. 1). Это указывает на магнитное упорядочение атомов Fe в узлах Cu1. Магнитное расщепление исчезает при довольно низкой температуре в точке  $T_{m1} \approx 10$  К. Таким образом, в температурном интервале  $0 < T < T_{m1}$  наблюдается сосуществование магнетизма (главным образом в подрешетке Cu1) и сверхпроводимости (рис. 4).

Широкие линии, наблюдаемые в экспериментальных мессбауэровских спектрах, могут быть связаны с релаксационными процессами или/и с дисперсией параметров сверхтонкого взаимодействия. Обработка спектров по специальной программе, разработанной А. М. Афанасьевым и Е. Ю. Цимбалом и учитывающей форму уширения, показала, что в данных образцах медленная спиновая релаксация отсутствует. Наиболее вероятной причиной уширения является распределение величин и направлений статических магнитных полей. Такое состояние является характерным для магнитного упорядочения типа спинового стекла. Это предположение подтверждается измерениями малоугловой нейтронной дифракции и магнитной восприимчивости, приведенными в работах [8, 9].

При удалении кислорода наблюдается существенное изменение низкотемпературных мессбауэровских спектров (рис. 2, 3). Основная магнитная компонента со средней величиной сверхтонкого магнитного поля  $H_{hf}(5 \text{ К}) \approx 275$  кЭ трансформируется при  $T_{m1} \approx 20$  К в парамагнитную компоненту  $D1$ . Кроме этой

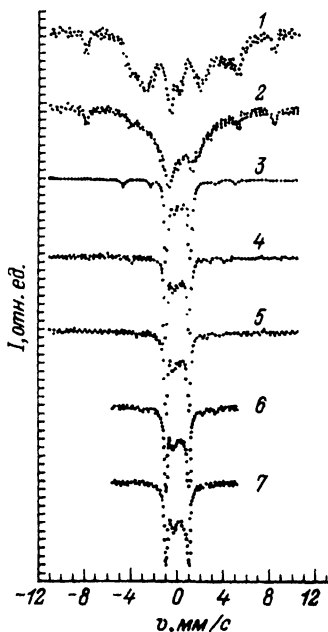


Рис. 3. Мессбауэровские спектры обедненного кислородом образца с  $x=0.05$ ,  $y=6.48$  в температурном интервале  $5 < T < 405$  К.  
 $T=5.1$  (1), 15 (2), 297 (3), 328 (4), 359 (5), 377 (6), 403 К (7).

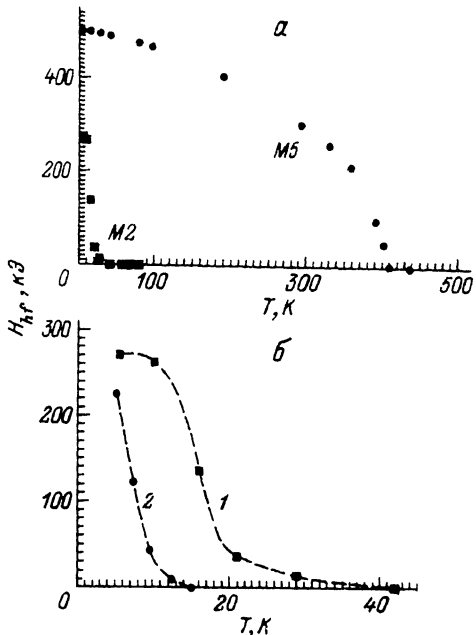


Рис. 4. Температурные зависимости сверхтонких магнитных полей на ядрах  $^{57}\text{Fe}$   $H_{hf}$  для различных компонент спектра в образце с  $x=0.05$  в сверхпроводящем (а) и несверхпроводящем (б) состоянии.

На рисунке б растягнута температурная шкала.  $y=6.48$  (а), 1), 7.01 (2).

компоненты, присутствует малоинтенсивный секстет с  $H_{hf}(5 \text{ К}) = 500$  кЭ, причем его магнитное расщепление сохраняется до высокой температуры  $T_{m2} = 405$  К (рис. 4, а). Величина  $T_{m2}$  близка к точке Нееля для атомов меди в подрешетке  $\text{Cu}2$  соединения  $\text{YBa}_2\text{Cu}_3\text{O}_{6-x}$  (т. е.  $T_{m2}^{\text{Fe}} = 405 \text{ К} \approx T_N^{\text{Cu}2}$ ). Таким образом, «магнитное» поведение компоненты  $M$  адекватно поведению магнитных моментов ионов меди в подрешетке  $\text{Cu}2$ . В связи с этим компоненту  $M$  можно связать с атомами Fe в узлах  $\text{Cu}2$ . Хотя по данным нейтронографии в узлах  $\text{Cu}2$  нет атомов железа, однако количество атомов Fe в компоненте  $M$ , найденное из мессбауэровских спектров ( $\sim 7\%$ ), находится в пределах ошибки нейтронографического эксперимента ( $\sim 17\%$ ). В противном случае следует предположить, что малоинтенсивная магнитная компонента соответствует некоторым атомам Fe в узлах  $\text{Cu}1$ , магнитно связанным с подрешеткой  $\text{Cu}2$ . Большая разница в температурах магнитного упорядочения для подрешетки  $\text{Cu}1$  ( $T_{m1} \approx 20$  К) и подрешетки  $\text{Cu}2$  ( $T_{m2} = 405$  К) указывает на то, что основная часть атомов Fe в узлах  $\text{Cu}1$  (до 93%) магнитно не связана с подрешеткой  $\text{Cu}2$ .

2) Данные для соединений  $\text{YBa}_2(\text{Cu}_{0.9}\text{Fe}_{0.1})_3\text{O}_y$  с  $y=7.07$  и 6.36. В сверхпроводящем образце с  $x=0.10$  и  $y=7.07$  ( $T_c=43$  К) все атомы Fe при низких температурах находятся в магнитно упорядоченном состоянии (вероятно, типа спинового стекла) (рис. 5, а) и все они переходят в парамагнитное состояние при температуре  $T_{m1} \approx 16$  К (рис. 6). В температурном интервале  $0 < T < 16$  К это магнитное упорядочение сосуществует со сверхпроводимостью. Магнитные спектры можно описать тремя компонентами  $M1$ ,  $M2$  и  $M4$  со средними значениями магнитных полей  $H_{hf}(5 \text{ К}) \approx 210, 260$  и 465 кЭ соответственно (нуме-

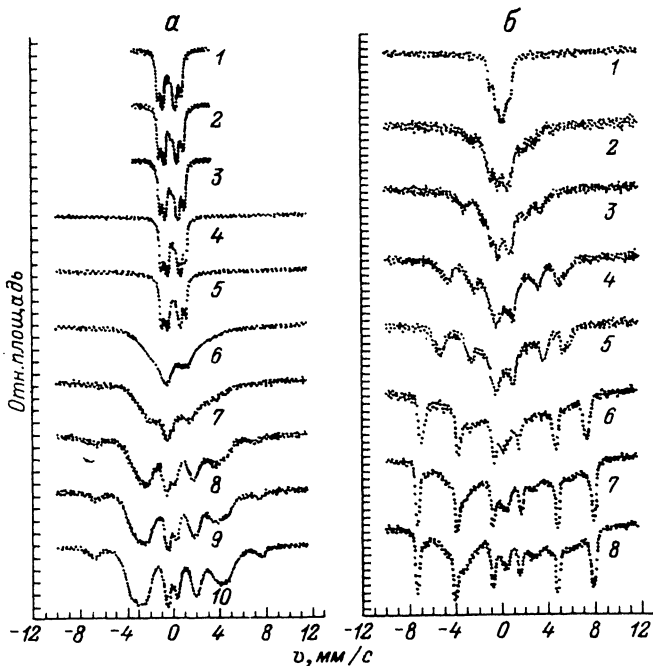


Рис. 5. Мессбауэровские спектры обогащенного  $y=7.07$  (а) и обедненного  $y=6.36$  (б) кислородом образцов с  $x=0.10$  при разных температурах.

а:  $T=270$  (1), 113 (2), 51.7 (3), 26.5 (4), 20.2 (5), 15.0 (6), 13.4 (7), 10.2 (8), 8.2 (9), 6.0 К (10); б:  $T=456$  (1), 428 (2), 408 (3), 334 (4), 277 (5), 108 (6), 32.9 (7), 4.6 К (8).

рация компонент увеличивается с увеличением  $H_{hf}$ ). В парамагнитной области спектры могут быть описаны тремя квадрупольными дублетами  $D1$ ,  $D2$  и  $D3$  с примерно такими же значениями параметров  $IS$  и  $QS$ , как и для образца с  $x=0.05$  и  $y=7.01$  (рис. 7, табл. 3). По значениям параметров  $IS$  и  $S_{rel}$  магнитная компонента  $M4$  образца с  $x=0.10$  может быть поставлена в соответствие с дублетом  $D3$  в парамагнитном спектре. Такая же ситуация наблюдалась и в случае образца с  $x=0.05$ . В соответствии с этими эффектами компоненты  $M4$  и  $D3$  можно отнести или к атомам Fe в узлах Cu2, или к атомам Fe в узлах Cu1, магнитно связанных с узлами Cu2.

При удалении кислорода из образца с  $x=0.10$  компонента  $M1$  в низкотемпературном спектре исчезает, компоненты  $M2$  и  $M4$  еще присутствуют (рис. 5, б), но появляются две новые магнитные компоненты:  $M5$  с полем  $H_{hf}(5\text{ K}) \cong \cong 505$  кЭ и  $S_{rel}=27\%$  и компонента  $M3$  с полем  $H_{hf}(5\text{ K}) \cong \cong 350$  кЭ и  $S_{rel}=45 \div 50\%$ . Температура магнитного упорядочения для компонент с более высокими значениями полей  $H_{hf}$  ( $M4$  и  $M5$ ) равна  $T_{m2}=435$  К (рис. 7). Эта температура соответствует точке Нееля подрешетки Cu2. Компоненты  $M4$  и  $M5$  в сумме соответствуют 40% атомов Fe в этом образце. Эта величина выходит за пределы ошибки данных нейтронографии [6], которые указывают на отсутствие атомов Fe в узлах Cu2. Если основываться на данных нейтронографии, то следует предположить, что в подрешетке Cu1 имеются атомы Fe в позициях  $M4$  и  $M5$ , которые находятся в сильной магнитной связи с подрешеткой Cu2.

С другой стороны, согласно мессбауэровским данным, кажется разумным отнести компоненту  $M5$  к атомам железа в узлах Cu2. В этом случае, однако, следует предположить, что при удалении кислорода возможен переход части атомов железа из узлов Cu1 в узлы Cu2, поскольку относительная площадь

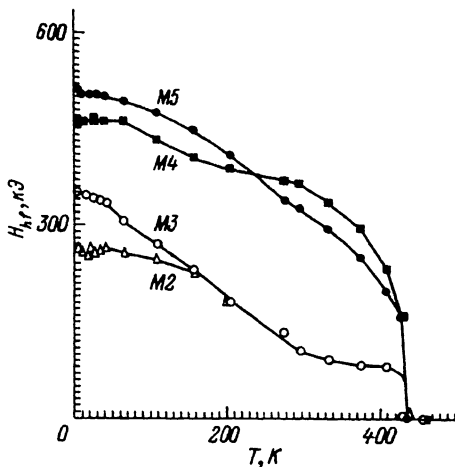
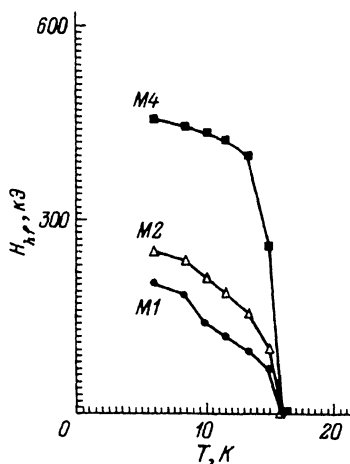


Рис. 6. Температурные зависимости сверхтонких магнитных полей для различных компонент спектра в сверхпроводящем образце с  $x=0.10$  и  $y=7.07$ .

Рис. 7. Температурная зависимость магнитных полей на ядрах  $^{57}\text{Fe}$  для различных компонент мессбауэровского спектра в образце с  $x=0.10$  и  $y=6.36$ .

компоненты  $M5$  ( $\sim 27\%$ ) больше площади компоненты  $D3$  ( $\sim 11\%$ ) в насыщенном кислородом образце.

Парамагнитный спектр обедненного кислородом образца можно описать суперпозицией трех дублетов  $D1$ ,  $D3$  и  $D5$  (рис. 8). Опять (как и в случае образца с  $x=0.05$ ) после удаления кислорода вместо компоненты  $D2$  появляется компонента  $D5$ . Как было показано в работе [7], компонента  $D2$  принадлежит атомам Fe в узлах  $\text{Cu}1$  с пятикратной кислородной координацией квадратной пирамиды. Тогда меньшую величину  $QS$  компоненты  $D5$  (по сравнению с  $D2$ ) можно объяснить большим сдвигом атомов Fe внутрь пирамиды по направлению к верхинному кислороду. Более симметричное кислородное окружение должно приводить к уменьшению величины квадрупольного расщепления. Из табл. 3 видно, что при удалении кислорода компонента  $D2$  трансформируется в компоненты  $D5$  и  $D3$ , при этом относительная площадь компоненты  $D1$  не меняется. Таким образом, при удалении кислорода интенсивность компоненты  $D3$  значительно увеличивается. В работе [10] также наблюдался аналогичный эффект, и он объяснялся переходом части атомов Fe из узлов  $\text{Cu}1$  в  $\text{Cu}2$  при удалении кислорода. Если это действительно так, то возникает некоторое противоречие между мессбауэровскими и нейтронграфическими данными. Для выяснения этих

Таблица 3

Параметры мессбауэровских спектров в парамагнитной области для обогащенных и обедненных кислородом образцов  $\text{YBa}_2\text{Cu}_{2.7}\text{Fe}_{0.3}\text{O}_y$

$T, \text{K}$	$y$		$QS, \text{mm/c}$	$IS, \text{mm/c}$	$S_{Fe}, \%$	$HW, \text{mm/c}$
270	7.07	$D1$	2.05	0.05	27	0.30
		$D2$	1.03	-0.05	62	0.48
		$D3$	0.68	0.38	11	0.33
456	6.36	$D1$	1.83	0.01	26	0.38
		$D5$	0.59	-0.01	46	0.57
		$D3$	0.55	0.31	28	0.48
Ошибка			0.01	0.01	2	0.02

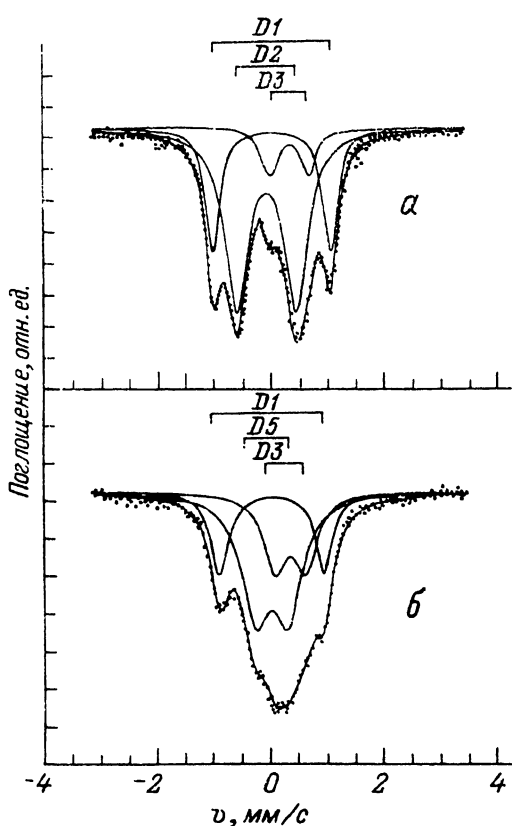


Рис. 8. Экспериментальные мессбауэровские спектры (точки) в парамагнитной области температур для обогащенного (а) и обедненного (б) кислородом образцов с  $x = 0.10$ .

Показаны разложение спектра на составляющие дублеты и огibaющая кривая (сплошные линии). Штрих-диаграммами указано положение резонансных линий в каждом дублете. а:  $T = 295$  К,  $y = 6.07$ ; б:  $T = 456$  К,  $y = 6.36$ .

противоречий мы планируем сделать в ближайшее время некоторые дополнительные исследования.

Температурная зависимость поля  $H_{hf}$  для компонент  $M2$  и  $M3$  в образце с  $x = 0.10$ ,  $y = 6.36$  сильно отличается от аналогичной зависимости в образце с  $x = 0.05$ ,  $y = 6.48$ . Низкотемпературная точка магнитного упорядочения  $T_{m1}$ , наблюдаемая для  $x = 0.05$  (рис. 4), возрастает до значения  $T_{m2} = 435$  К в случае  $x = 0.10$  (рис. 7). Из рис. 7 видно, что магнитные компоненты  $M2$  и  $M3$  как бы подмагничиваются подрешеткой  $Cu2$  и для всех компонент наблюдается только одна высокотемпературная точка магнитного упорядочения. Это означает, что в этом образце появляется сильное обменное взаимодействие между атомами меди (и, возможно,

железа) в узлах  $Cu2$  и между атомами железа в узлах  $Cu1$ . Магнитно независимые подрешетки  $Cu1$  и  $Cu2$  образца с  $x = 0.05$  становятся сильно связанными в случае  $x = 0.10$ . Это может быть вызвано увеличением концентрации Fe и/или более низким содержанием кислорода в образце с  $x = 0.10$ . Наши данные по нейтронной дифракции [6] указывают на появление в этом образце дальнего антиферромагнитного порядка в подрешетках  $Cu1$  и  $Cu2$  с магнитной структурой, аналогичной наблюдавшейся ранее для аналогичной системы, допированной кобальтом,  $YBa_2(CuCo)_3O_y$  [11] (структура типа AF2). Таким образом, можно предположить, что упорядочение атомов Fe типа спинового стекла в узлах  $Cu1$  начинает преобразовываться в дальний антиферромагнитный порядок, возможно, типа AF2. В области температур 200—250 К (рис. 7) мы наблюдали интересную аномалию в температурной зависимости  $H_{hf}$ , где в результате перераспределения интенсивностей линий компоненты  $M4$  и  $M5$  как бы меняются местами. На других образцах этой серии также наблюдается перераспределение интенсивности между компонентами  $M4$  и  $M5$  с ростом температуры.

На основе проведенных исследований можно сделать заключение, что в обогащенных кислородом соединениях  $YBa_2(Cu_{1-x}Fe_x)_3O_y$  магнитное упорядочение (по-видимому, типа спинового стекла) в узлах  $Cu1$  может сосуществовать со сверхпроводимостью. Температура упорядочения  $T_{m1}$  увеличивается с ростом концентрации железа. После удаления кислорода сверхпроводимость исчезает и в узлах  $Cu2$  появляется магнитный порядок с температурой упорядочения  $T_{m2}$ . В обедненных кислородом образцах с малой концентрацией железа атомы Fe и Cu в подрешетках  $Cu1$  и  $Cu2$  магнитно не связаны и наблюдаются две различные

точки магнитного упорядочения  $T_{m1}$  и  $T_{m2}$ . В этом состоянии порядок типа спинового стекла в подрешетке Cu1 или антиферромагнитный порядок типа AF2 [11] может сосуществовать с упорядочением типа AF1 в подрешетке Cu2. При увеличении концентрации железа появляется сильное обменное взаимодействие между подрешетками Cu1 и Cu2, что приводит к одной температуре магнитного упорядочения  $T_{m2}$  для обеих подрешеток. Можно предположить, что в этом состоянии устанавливается дальний антиферромагнитный порядок типа AF2.

Авторы благодарны А. Я. Шапиро за синтез и рентгеновский анализ образцов, В. А. Русакову, А. М. Афанасьеву и Е. Ю. Цымбалу за помощь в компьютерной обработке спектров и ценные консультации.

Работа поддерживается Научным советом по проблеме ВТСП и выполнена в рамках проекта № 646 Государственной программы «Высокотемпературная сверхпроводимость».

#### Список литературы

- [1] Qui Z. Q., Du Y. W., Tang H., Walker J. C., Bryden W. A. // *J. Magn. Magn. Mater.* 1987. V. 69. N 3. P. L221—L224.
- [2] Любутин И. С., Смирновская Е. М., Терзиев В. Г., Шапиро А. Я. // *Письма в ЖЭТФ.* 1988. Т. 47. № 4. С. 196—200.
- [3] Tamaki T., Komai T., Ito A., Maeno Y., Fujita T. // *Solid State Comm.* 1988. V. 65. P. 43—52.
- [4] Nowik I., Kowitz M., Felner I., Bauminger E. R. // *Phys. Rev. B.* 1988. V. 38. N 10. P. 6677—6681.
- [5] Nasu S., Oda Y., Kohara T., Ueda K., Shinjo T., Asayama K., Fujita F. // *Progress in High Temperature Superconductivity.* World Scientific, Singapore, 1989. V. 15. P. 214—220.
- [6] Балагуров А. М., Миронова Г. М., Любутин И. С., Терзиев В. Г., Шапиро А. Я. // *СХФТ.* 1990. Т. 3. № 4. С. 615—624.
- [7] Lyubutin I. S., Terziev V. G., Smirnovskaya E. M., Shapiro A. Ya. // *Physica C.* 1990. V. 169. P. 361—370.
- [8] Katano S., Matsumoto T., Matsushita A., Hatano T., Funahashi S. // *Phys. Rev. B.* 1990. V. 41. N 4. P. 2009—2016.
- [9] Mirebeau I., Hennon M., Dianoux J., Caignaert V., Moorjani K. // *J. Appl. Phys.* 1990. V. 67. N 9. P. 4521—4523.
- [10] Qui Z. Q., Du Y. W., Tang H., Walker J. C. // *J. Magn. Magn. Mater.* 1989. V. 78. N 3. P. 359—364.
- [11] Miceli P. F., Tarascon J. M., Barboux P., Greene L. H., Bagley B. G., Hull G. W., Giroud M., Rhyne J. J., Neumann D. A. // *Phys. Rev. B.* 1989. V. 39. N 16. P. 12375—12378.

Институт кристаллографии РАН  
Москва

Поступило в Редакцию  
19 февраля 1992 г.  
В окончательной редакции  
9 июня 1992 г.